

**Поиск L и T коричневых карликов в данных
современных обзоров неба методами машинного
обучения**

Курсовая работа
аспирантки
аспирантской школы по физике
НИУ ВШЭ
Авдеевой А. С.

Оглавление

Введение	2
1. Данные	3
1.1. Генерация дополнительных признаков	5
1.2. Работа с пропущенными значениями	5
2. Модели	7
2.1. Train-test и кросс-валидация	7
2.2. Random Forest Classifier	8
2.2.1. Отбор признаков	8
2.2.2. Результаты RF	9
2.3. Support Vector Machine	9
2.4. TabNet	10
3. Результаты и выводы	12
Список литературы	12

Введение

Коричневые карлики — это субзвездные объекты. Их массы недостаточно для запуска и поддержания стабильного водородного синтеза, что приводит к их охлаждению с течением времени. В спектральной классификации коричневые карлики имеют спектральные типы M, L, T и Y. Коричневые карлики имеют низкие температуры, поэтому они довольно слабые в видимом диапазоне спектра, а пик интенсивности излучения приходится на инфракрасный диапазон.

Согласно исследованиям ([Mužić et al.(2017)]) количество коричневых карликов в Галактике составляет от 25 до 100 миллиардов объектов (при общем числе объектов от 100 до 500 миллиардов). Однородные и полные выборки коричневых карликов необходимы для разного рода исследований: кинематические исследования, исследования двойных звезд с коричневыми карликами, исследование параметров Галактики. Для моделирования наблюдаемых величин также необходимо уточнить зависимости спектральный тип – светимость и спектральный тип – плотность объектов в ближайшей окрестности.

Существует еще одно загадочное явление, связанное с коричневыми карликами, называемое L/T-переходом. По мере того, как мы движемся к более низким температурам на диаграмме Герцшпрунга-Рассела, цвет коричневых карликов становится значительно более синим, нарушая монотонное изменение цвета. При этом они становятся ярче, также нарушая монотонную тенденцию изменения блеска с уменьшением температуры. Это явление связано, по всей видимости, с изменением свойств атмосферы коричневых карликов. Некоторые атмосферные модели предполагают, что это происходит из-за опускания облаков пыли через фотосферу, что приводит к быстрому и резкому изменению цветовых характеристик. Есть также модели, которые связывают все с химической нестабильностью в атмосфере. Еще одним предложением являются так называемые модели «пятнистых облаков». Они мотивированы наблюдаемой изменчивостью коричневых карликов L- и T-типов. Спектральные исследования коричневых карликов в силу их слабости довольно трудоемки. По этой причине сложно создать большую надежную выборку коричневых карликов спектроскопическими наблюдениями представляется пока недостижимым.

Предпринимались многочисленные попытки поиска и создания набора коричневых карликов, используя их фотометрические параметры в качестве решающего правила. Например, [Skrzypek et al.(2016)] успешно использовали данные трех обзоров: SDSS, UKIDSS и WISE. Для поиска коричневых карликов они использовали следующие ограничения: $(Y - J)_{Vega} > 0.8$, $J < 17.5$. В результате удалось обнаружить порядка 1300 коричневых карликов на площади 3000 квадратных градусов (около 7,5% небесной сферы). Еще один недавний успешный пример: [Carnero Rosell et al.(2019)]. Они также пользовались решающим правилом, но использовали обзоры DES, VHS и WISE. В этом случае использовались следующие

правила: $(i - z) > 1.2$, $(z - Y) > 0.15$, $(Y_{AB} - J_{Vega}) > 1.6$, $z < 22$. Авторы утверждают, что таким образом удалось найти почти 12 тысяч коричневых карликов на площади 2400 квадратных градусов (около 5,8% небесной сферы).

Методы машинного обучения для классификации астрономических объектов все чаще используются в исследованиях. Например, [Maravelias et al.(2022)], скомбинировали метод опорных векторов, случайный лес и многослойный перцептрон для классификации массивных звезд в ближайших галактиках. Точность применения к тестовому датасету составила 83%. Применение к другим галактикам (не входящим в датасет) IC 1613, WLM и Sextans A показало результат точности на уровне 70%, что авторы связывают с отличающейся от тренировочного набора металличностью и эффектами поглощения. Пропущенные данные были заполнены простыми средними значениями, в качестве альтернативы использовался IterativeImputer, который показал лучшую эффективность. Еще одна работа, посвященная классификации астрономических объектов методами машинного обучения - [Lu et al.(2021)] - классифицирует звезды по изображению в трехцветной фотометрии. В данной работе использовалась CNN для того, чтобы извлечь признаки из изображения, а затем использовался метод опорных векторов непосредственно для классификации. Заявленная точность достигает 79%, работа с пропущенными данными не проводилась.

В данной работе мы используем методы машинного обучения (Random Forest, Support Vector Machine, TabNet) для выделения коричневых карликов среди других объектов и сравниваем его с классическими решающими правилами [Burningham et al.(2013)] и ([Carnero Rosell et al.(2019)]). Целью работы является создание метода для поиска коричневых карликов в больших фотометрических обзорах. То есть по набору блесков и цветов объекта метод должен определять, является ли данный объект коричневым карликом. Это поможет облегчить поиск и исследование коричневых карликов.

1. Данные

Первоначально в работе планировалось провести кросс-сопоставление списка L,T и Y коричневых карликов [Kirkpatrick et al.(2021)] с данными нескольких оптических и инфракрасных обзоров. Но ввиду трудности кросс-сопоставления быстро движущихся объектов, было принято решение начать работу над обучением классификатора на уже размеченных данных.

Основу датасета составляют L и T коричневые карлики из каталога [Best et al.(2018)]. Каталог содержит информацию о 1601 коричневом карлике L и T типа и о 8287 красных карликах M типа, наиболее близком по физическим характеристикам к коричневым карликам спектральном классе, субкарликах и др. Каталог состоит

из фотометрических данных объектов - блесков (характеристика яркости объекта) в 12 фотометрических полосах и их погрешностей. Приведены пять значений блесков в оптическом спектре, полученных на телескопе Pan-STARRS 1 ([Chambers et al.(2016)]) в ходе миссии Pan-STARRS. Еще семь значений блеска - в инфракрасном спектре - взяты данных космической миссии 2MASS ([Cutri et al.(2003)]) и космической миссии WISE ([Cutri et al.(2021)]). Каталог также содержит астрометрическую информацию, положение объекта на небе, параллакс (расстояние до объекта) и собственное движение - скорость перемещения объекта на небесной сфере. Кроме того, он содержит ссылки на литературу, из которой взяты данные о собственных движениях и параллаксах.

Объекты L и T типов мы объявили объектами положительного класса. Для объектов отрицательного класса было выбрано около 650 красных карликов из того же каталога [Best et al.(2018)], а также около 1700 объектов других спектральных классов и классов светимости. Объекты других классов были выбраны из базы данных астрономических объектов Simbad (<http://simbad.cds.unistra.fr/simbad/>). Для них зачастую хорошо исследована спектральная классификация. Затем было проведено кросс-сопоставление выбранных из Simbad объектов с данными каталогов Pan-STARRS DR1, 2MASS и ALLWISE. Для каждого объекта внутри некоторого радиуса, называемого радиусом кросс-матчинга, вокруг его положения, данного в Simbad, искался парный объект в каждом из интересующих нас обзоре. Поскольку объекты в основном далекие и имеют небольшие собственные движения, радиус матчинга мы выбрали равным $1''$, что является разумным значением для большинства обзоров, в том числе, используемых в данной работе.

В результате получился список из 3983 объектов, 1601 из которых - целевого положительного класса. Данные имеют вид таблицы из 3983 строк и 14 колонок: в одной указана спектральная классификация объекта из литературы, 12 занимают фотометрические блески объектов в разных фотометрических полосах и в последней колонке - метка, принадлежит ли объект к целевому классу.

Данные содержат значительное количество пропущенных значений для объектов целевого класса в оптическом спектре (полосы g, r, i). Так как пик интенсивности и без того тусклых объектов приходится на инфракрасную часть спектра, блески в этих фотометрических полосах, скорее всего, находятся за пределом чувствительности телескопа. В полосах g и r данных Pan-STARRS значения пропущены практически для всех объектов, поэтому от этих данных пришлось совсем отказаться. В полосе i значения отсутствуют примерно для одной трети объектов положительного класса и незначительного количества объектов отрицательного класса. Значения блесков в этой полосе нам важны, в том числе для сравнения с классическими решающими правилами, поэтому их мы оставляем. В результате получается таблица из 3983 строк, соответствующих различным объектам, и 12 колонок, из которых 10 - признаки каждого объекта.

1.1. Генерация дополнительных признаков

В астрономии важную роль играет не только характеристика яркости объекта - его блеск, но и характеристика распределения энергии в спектре объекта - показатель цвета, который является разностью двух блесков. Для того, чтобы учесть это при классификации, мы добавили несколько колонок - классических показателей цвета, часто используемых в данной области: $(i - z)_{PS1}$, $(z - Y)_{PS1}$, $Y_{PS1} - J_{2MASS}$, $J_{2MASS} - H_{2MASS}$, $H_{2MASS} - K_{S2MASS}$, $W1 - W2$. Они так же часто используются в решающих правилах для отбора коричневых карликов среди остальных объектов. Таким образом, после этой процедуры таблица содержит по 16 признаков для каждого из 3983 объектов. На Рис.1 показано, как выглядят объекты целевого класса по сравнению с объектами всех других классов в двумерном срезе пространства признаков.

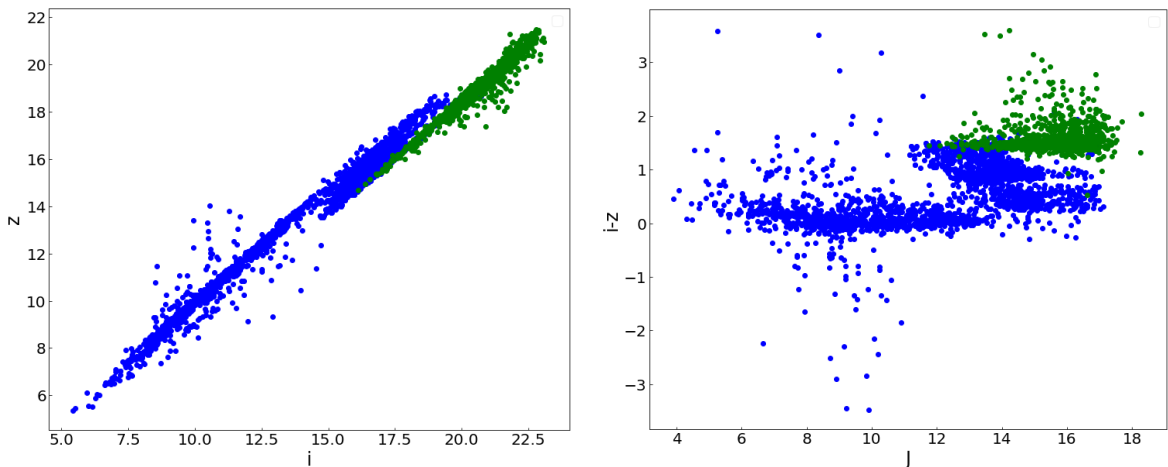


Рис. 1: Объекты разных классов на диаграммах блеск-блеск и блеск-показатель цвета. Зеленые точки - объекты положительного класса, синие - отрицательного.

1.2. Работа с пропущенными значениями

Как было сказано ранее, таблица имеет значительное количество пропущенных значений. В более длинноволновой части спектра это, скорее всего, связано с пределом чувствительности регистрирующего прибора: коричневые карлики являются довольно тусклыми объектами и максимум их излучения приходится на инфракрасную часть спектра. Пропущенные значения в более коротковолновой части спектра по-видимому связаны с некачественными измерениями или артефактами.

[Maravelias et al.(2022)] для заполнения пропущенных значений использовали метод заполнения средними и IterativeImputer библиотеки sklearn.impute. В данной работе мы сразу отказались от заполнения средними значениями, так как метод

является физически не обоснованным. В качестве метода заполнения пропущенных значений был выбран так же IterativeImputer. В методе IterativeImputer для заполнения отсутствующих значений применяется моделирования каждого признака с отсутствующими значениями в зависимости от других признаков циклическим способом. Этот метод сравнивался с методом KNNImputer из той же библиотеки sklearn.impute. IterativeImputer при схожей эффективности заполнения является все-таки более физически обоснованным в случае, когда пропущенные значения находятся на пределе регистрации. В случае KNNImputer метод усредняет значения признаков, ближайших к данному объекту в пространстве признаков, то есть он не может выйти за границы представленных в датасете значений признаков. В данной ситуации очевидно, что многие пропущенные значения в оптической части спектра как раз находятся за пределами представленных в датасете значений признаков.

На Рис.2 представлены графики, по осям отложены блески на графике слева и блеск и показатель цвета на графике справа. Синие точки представляют оригинальные данные, красные точки - вставленные значения.

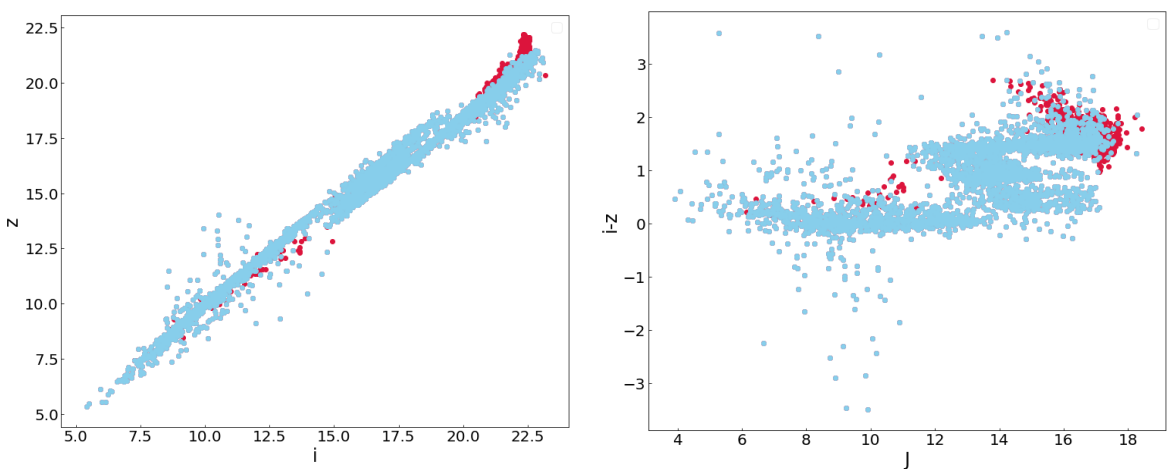


Рис. 2: Сравнение оригинальных данных (голубые точки) и вставленных значений (красные точки) методом IterativeImputer

Как видно из левого графика, вставленные точки отходят от общего тренда. Такое характерно только для величины блеска в полосе i , так как там наблюдается до трети пропущенных значений и IterativeImputer не может с этим корректно справится. С помощью подбора параметров метода мы получили результат, наименее отклоняющийся от общего тренда.

Несмотря на то, что вычисленные в разделе 1.1 показатели цвета непосредственно связаны со значениями блесков, было решено применять к ним IterativeImputer независимо. Это позволяет добиться лучших результатов и избежать больших ошибок в вычислении показателей цвета. В случае, если бы мы сначала применяли заполнение к блескам, а затем вычисляли бы показатели цвета, отклонения при заполнении блесков могли бы привести к ошибкам в показателях цвета, примерно в

два раза превышающим ошибку заполнения каждого из блесков. Независимое заполнение значениями позволяет получить меньшие ошибки. Как видно на правом графике Рис.2, заполненные значения показателей цвета находятся в разумных пределах и совпадают с общим трендом.

После всех операций с данными, к ним также было применено скалирование с помощью функции StandardScaler.

2. Модели

В ходе работы было опробовано три подхода: Random Forest Classifier, Support Vector Machines и TabNet. Мы сравниваем их с классическими решающими правилами [Carnero Rosell et al.(2019)] и [Burningham et al.(2013)], в качестве метрики был выбран коэффициент корреляции Метьюса, поскольку он учитывает и ложноположительные, и ложноотрицательные предсказания. Решающие правила и результат их применения к валидационному датасету суммированы в Таб.1.

Автор	Правило	MCC
Carnero Rosell et al. (2019)	$(i - z) > 1.2, (z - Y) > 0.15,$ $(Y_{AB} - J_{Vega}) > 1.6, z < 22$	0.86
Burningham et al. (2013)	$(z - J)_{Vega} > 0.8, J < 17.5$	0.90

Таблица 1: Решающие правила из литературы

На Рис. 3 представлены матрицы ошибок, отражающие количество верно классифицированных, ложноположительных и ложноотрицательных объектов для обоих правил. Несмотря на то, что результативность решающих правил достаточно высока, количество ложноположительных и ложноотрицательных классификаций растет с ростом числа объектов и это становится важным, когда объектов у нас миллионы и больше, как в большинстве современных небесных обзоров (PanSTARRS - 1.9 млрд объектов, 2MASS - 470 млн объектов, WISE - 560 млн объектов), поэтому есть смысл бороться за проценты.

2.1. Train-test и кросс-валидация

Данные разбивались на обучающий, валидационный и тестовый набор в отношении 6:2:2. В ходе подбора гиперпараметров кросс-валидацией для сохранения процентного соотношения положительного и отрицательного классов использовался StratifiedKFold. Так как для каждого из объектов представлен набор данных с одних и тех же трех телескопов, то разбиение оправдано с научной точки зрения.

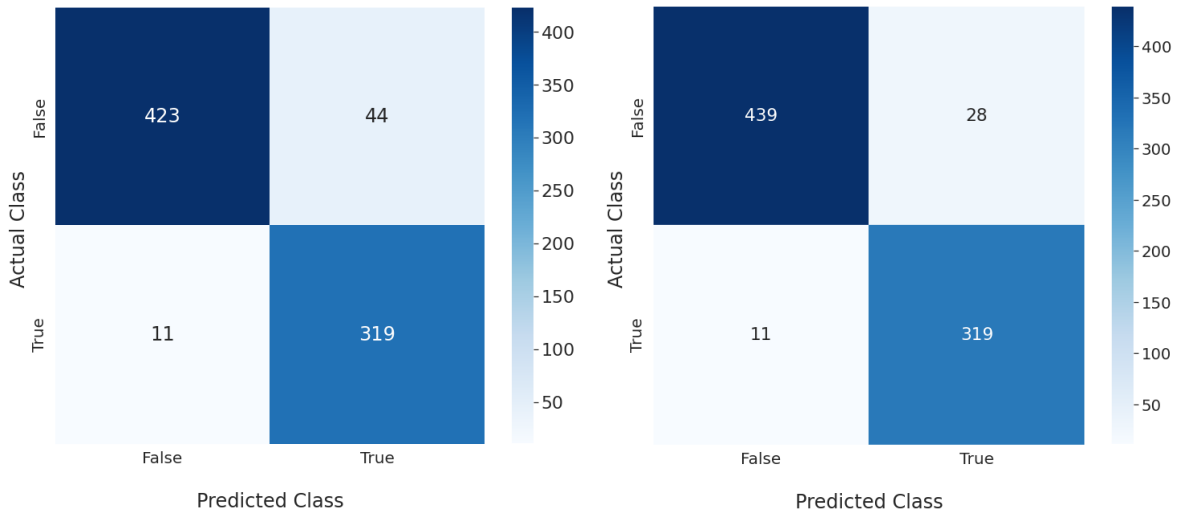


Рис. 3: Матрицы ошибок решающих правил на валидационном датасете. Carnero Rosell et al. (2019) справа и Burningham et al. (2013) слева.

2.2. Random Forest Classifier

Метод решающего дерева довольно схож по своей концепции с классическими решающими правилами, которые традиционно используются в астрономии для классификации объектов. И хотя автоматизированные деревья решений могут быть намного более эффективными, чем классические решающие правила, они склонны к переобучению, т. е. слишком хорошо изучают данные, на которых обучаются, и могут дать сбой при применении к данным, которые они раньше не видели. Решением такой проблемы может служить случайный лес (RF) - ансамбль из решающих деревьев. В таком случае решение о том, к какому классу принадлежит объект принимается на основании того, за какой класс проголосовало большее число деревьев.

2.2.1. Отбор признаков

Как видно из Рис.1 видно, что данные блесков скоррелированы между собой, поэтому разумно было сделать отбор признаков для каждой из моделей. Для отбора признаков мы попробовали Boruta и SequentialFeatureSelector с возможностью удалять и добавлять признаки. Boruta во всех случаях отобрала все 16 признаков. SequentialFeatureSelector показывает максимальную эффективность на 6 и 9 признаках из 16. Тем не менее, на валидации модель, обученная на этих наборах признаков показывает чуть-чуть худшие результаты, чем без отбора признаков, что, по-видимому, является следствием переобучения. Таким образом, лучшей стратегией по всей видимости, является использование всего набора признаков.

2.2.2. Результаты RF

После подбора гиперпараметров через GridSearchCV, случайный лес дает результат до $MCC = 0.97$ на валидационном датасете. Матрица ошибок представлена на Рис.5, как видно, значительно снизилось количество и ложноположительных, и ложноотрицательных классификаций по сравнению с решающим правилом.

На Рис.4 на примере двумерного среза показана разделяющая граница между классами, определенная моделью RF.

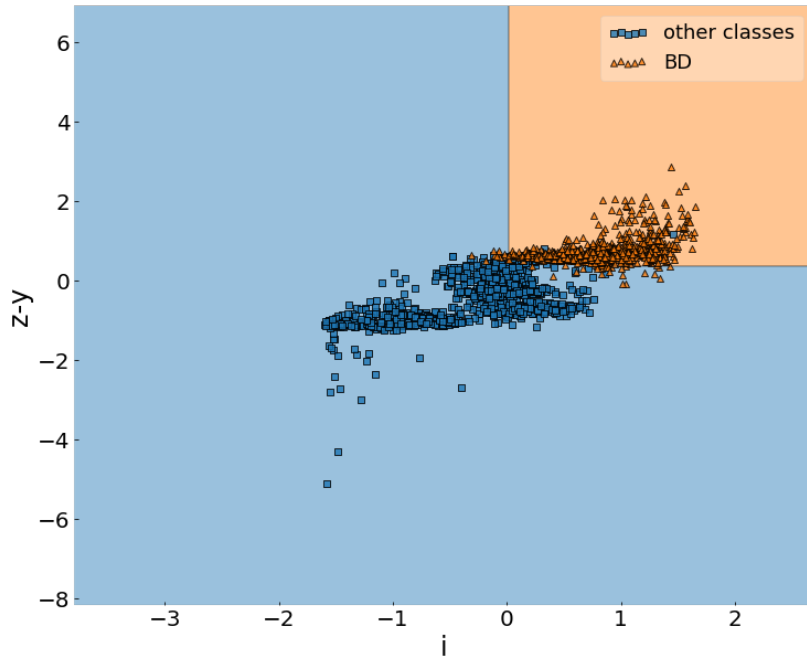


Рис. 4: Срез разделяющей границы в пространстве признаков по модели RF.

2.3. Support Vector Machine

Метод опорных векторов - это широко применяемый и хорошо разработанный метод. Принцип метода опорных векторов заключается в нахождении линии, поверхности или гиперповерхности, которая бы разделяла классы в пространстве признаков. В процессе подбора максимизируется расстояние от каждой точки до границы раздела (опорный вектор).

Как и в случае случайного леса, отбор признаков не показал роста эффективности классификации на валидационном датасете, поэтому обучение опять проводилось на всех признаках. Подбором гиперпараметров в качестве типа ядра была выбрана радиальная базисная функция. На валидационном датасете метод опорных векторов дает до $MCC = 0.966$, что почти идентично случайному лесу. Матрица ошибок представлена на Рис.5

На Рис.6 показана разделяющая граница, построенная моделью SVM, на примере двумерного среза. Срез отличается от приведенного на аналогичном рисунке

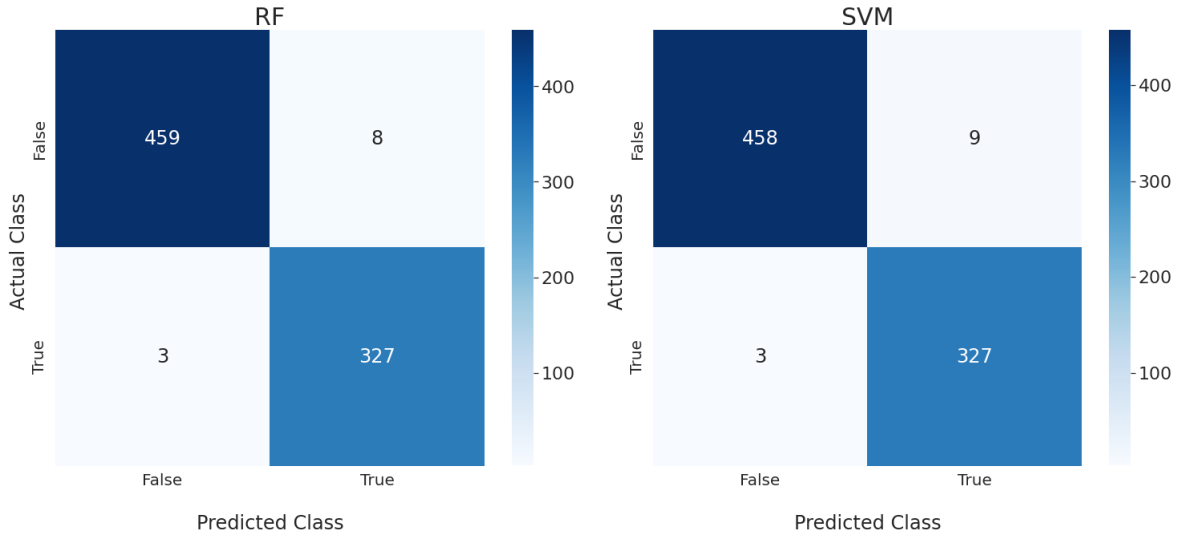


Рис. 5: Матрица ошибок классификации RF (справа) и SVM (слева).

для RF, так как разные формы разделяющих поверхностей хорошо показывают себя на разных признаках. Стоит отметить, что это только срез, в котором остальные значения признаков взяты в некоторой окрестности среднего, поэтому большое количество точек, которые попали не в ту область, не означает фактическую мисклассификацию.

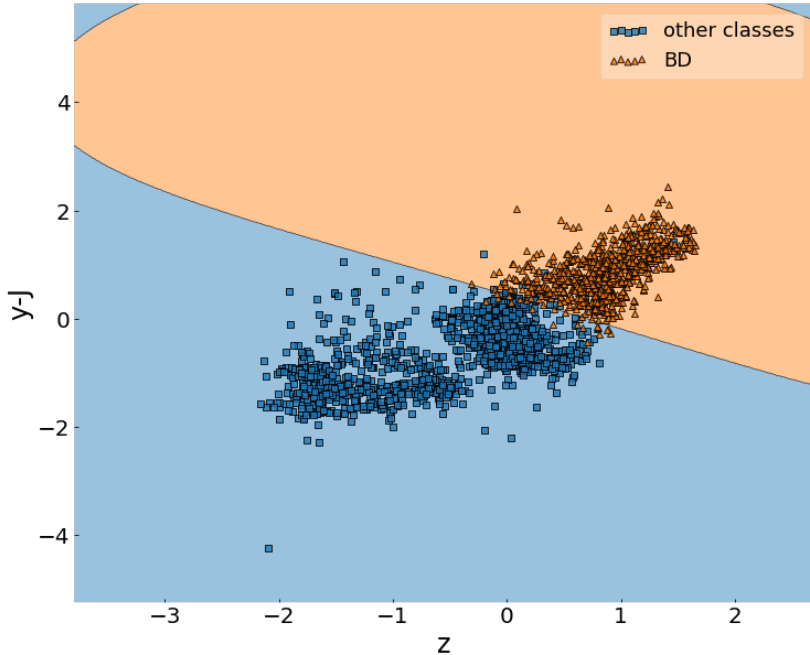


Рис. 6: Срез разделяющей границы в пространстве признаков по модели SVM.

2.4. TabNet

TabNet ([Arik & Pfister(2019)]) - это нейронная сеть глубокого обучения, использующая внимание для отбора на каждом этапе принятия решения, что используются только наиболее полезные признаки. При этом выбор признаков зависит

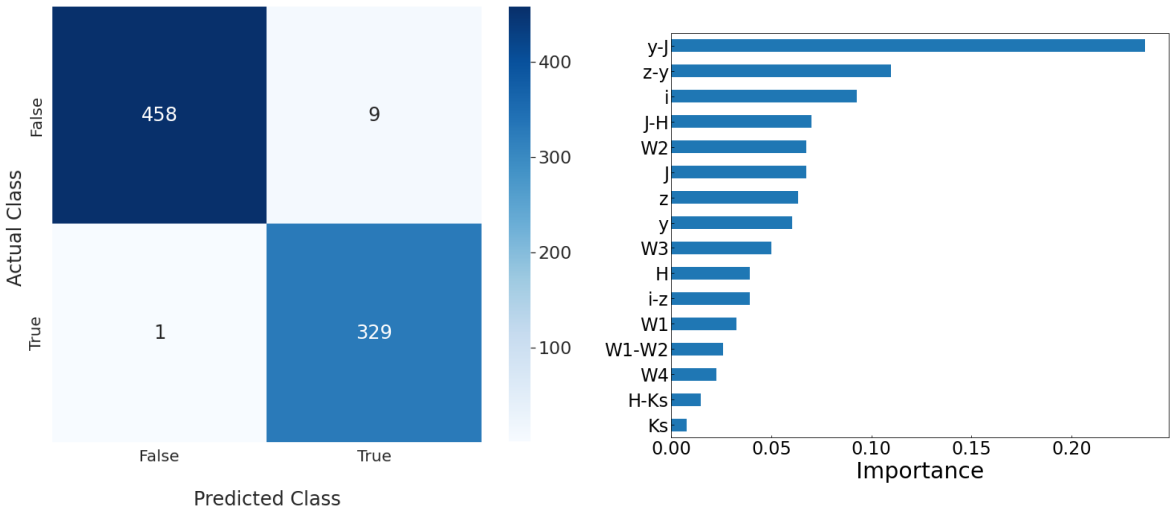


Рис. 7: Матрица ошибок классификации TabNet и важность признаков.

от объекта, и например, он может быть разным для каждой строки обучающего набора данных. В конце можно посмотреть, на какие признаки модель больше всего ориентировалась. Внешний отбор признаков, таким образом, не производился. TabNet состоит из нескольких шагов, каждый шаг представляет собой блок компонентов, при этом количество шагов является гиперпараметром. Каждый шаг получает свой собственный голос в финальной классификации, что имитирует классификацию с помощью ансамбля.

Гиперпараметры модели были подобраны на optuna, затем модель была обучена с использованием оптимизации на основе градиентного спуска, в качестве оптимизатора использовался Adam.

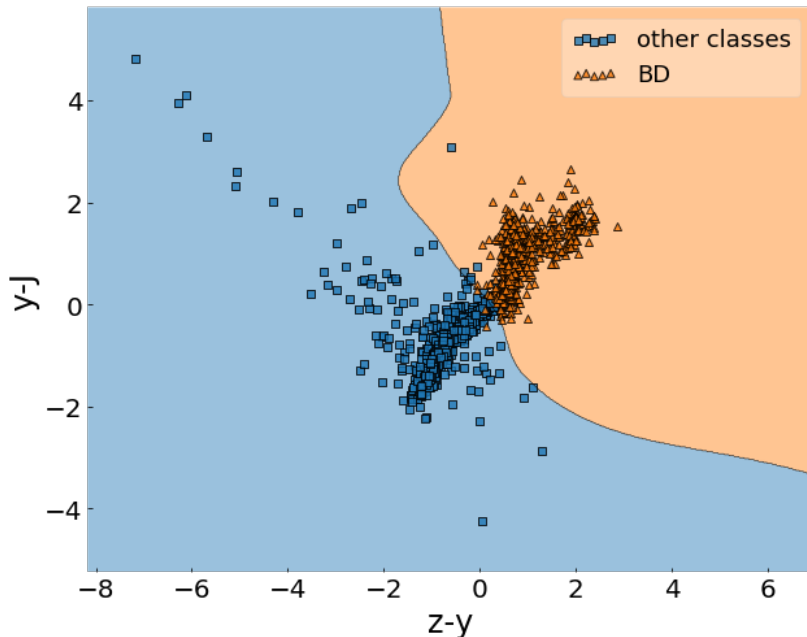


Рис. 8: Срез разделяющей границы в пространстве признаков по модели TabNet.

На валидационном датасете TabNet показывает эффективность $MCC = 0.974$, что также совпадает с результатами RF и SVM и немного даже их превосходит. Матрица ошибок и итоговая важность признаков представлены на Рис.7. На Рис.8 показана разделяющая поверхность в проекции на срезе самых важных по версии модели признаков. Стоит отметить, что первые два признака, которые модель посчитала самыми важными, также отражены и в решающих правилах Таб.1, поэтому этот результат является ожидаемым.

3. Результаты и выводы

В данной работе мы составили датасет из коричневых карликов L и T типа (отмеченных, как положительный класс) и объектов других спектральных классов (отмеченных, как отрицательный класс) на основе литературных источников. Обучили на этих данных три модели: Random Forest Classifier, SVM Classifier и TabNet Classifier. Все три модели дали практически одинаковый результат, скорее всего приближающийся к максимально возможному в такой задаче.

Список литературы

- [Arik & Pfister(2019)] Arik, S. O., & Pfister, T. 2019, arXiv e-prints, arXiv:1908.07442
- [Best et al.(2018)] Best, W. M. J., Magnier, E. A., Liu, M. C., et al. 2018, , 234, 1
- [Burningham et al.(2013)] Burningham, B., Cardoso, C. V., Smith, L., et al. 2013, , 433, 457
- [Carnero Rosell et al.(2019)] Carnero Rosell, A., Santiago, B., dal Ponte, M., et al. 2019, , 489, 5301
- [Chambers et al.(2016)] Chambers, K. C., Magnier, E. A., Metcalfe, N., et al. 2016, arXiv e-prints, arXiv:1612.05560
- [Cutri et al.(2003)] Cutri, R. M., Skrutskie, M. F., van Dyk, S., et al. 2003, VizieR Online Data Catalog, II/246
- [Cutri et al.(2021)] Cutri, R. M., Wright, E. L., Conrow, T., et al. 2021, VizieR Online Data Catalog, II/328
- [Kirkpatrick et al.(2021)] Kirkpatrick, J. D., Gelino, C. R., Faherty, J. K., et al. 2021, , 253, 7
- [Lu et al.(2021)] Lu, Y.-K., Qiu, B., Luo, A. L., et al. 2021, , 507, 4095

[Maravelias et al.(2022)] Maravelias, G., Bonanos, A. Z., Tramper, F., et al. 2022,
arXiv e-prints, arXiv:2203.08125

[Mužić et al.(2017)] Mužić, K., Schödel, R., Scholz, A., et al. 2017, , 471, 3699

[Skrzypek et al.(2016)] Skrzypek, N., Warren, S. J., & Faherty, J. K. 2016, VizieR
Online Data Catalog, J/A+A/589/A49